

ДИНАМИКА ВИБРАЦИОННОГО КАТКА

Манакин Е.А., канд. техн. наук
Донецкий национальный технический университет

Проведен анализ эффективности применения уплотняющих машин в зависимости от свойств уплотняемого материала.

This paper is an attempt to analyze the performance of soil-compacting machines on the soils with different properties.

Плотность грунта земляного сооружения является основным фактором влияющим на его стабильность, поэтому повышенные требования предъявляются к грунтоуплотняющим машинам. Практика использования различных типов катков, а также многосторонние эксплуатационные испытания, позволили обосновать рациональные конструктивные решения, которые являются основой интенсивного развития катков комбинированного действия или катков с различным типом воздействия рабочих органов на уплотняемый материал.

Уплотнение грунтов при строительстве земляных объектов нередко осуществляется самоходными вибрационными катками, которые состоят из тягача и шарнирно соединенной с ним рамой, внутри которой закреплен валец с вибровозбудителем, представляющим собой вращающиеся в противоположных направлениях неуравновешенные массы. Для решения задачи процесса уплотнения в зависи-

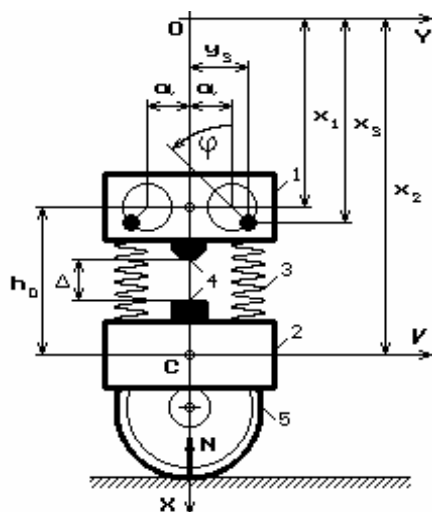


Рис. 1. Схема вибрационного катка

мости от параметров вибрационного воздействия рассмотрим его динамическое состояние в соответствии с расчетной схемой одновальцового катка, представленной на рис.1.

Вибрационный каток рассматривается как двухмассовая нелинейная система, включающая дебалансы и приведенную массу корпуса катка с вальцом. Здесь обозначено: 1 – вибровозбудитель; 2 – корпус катка; 3 – упругие элементы; 4 – ударник вибратора; 5 – валец катка, имеющий

радиус R и ширину b ; x_1 – координата центра тяжести вибровозбудителя; x_2 – координата центра тяжести корпуса катка; x_3 – координата центра инерции вращающегося элемента вибровозбудителя; φ – угол поворота вращающейся массы вибровозбудителя; Δ – зазор между соударяющимися молотом и наковальной ударника; V – горизонтальная скорость перемещения катка; N – вертикальная составляющая реакция грунта, зависимость которой от перемещений катка и его параметров будет рассмотрена ниже; h_0 – конструктивный параметр, равный расстоянию между центрами тяжести вибровозбудителя и корпуса катка при ненапряженных пружинах.

На основании уравнения Лагранжа получена следующая система дифференциальных уравнений, описывающих колебания рассматриваемой системы:

$$\left. \begin{aligned} (m_1 + 2m_g)\ddot{x}_1 - 2m_g r \dot{\varphi} \sin \varphi - 2m_g r \dot{\varphi}^2 \cos \varphi + (b_1 + b_3)\dot{x}_1 - b_3 r \dot{\varphi} \sin \varphi + \\ + c(x_1 - x_2) = 0, \\ m_2 \ddot{x}_2 + b_2 \dot{x}_2 + c(x_2 - x_1) = N_{cm} - N, \\ 2(m_g r^2 + J_g)\ddot{\varphi} - 2m_g r \ddot{x}_1 \sin \varphi + b_3 r^2 \dot{\varphi} - b_3 r \dot{x}_1 \sin \varphi + 2m_g r g \sin \varphi = \\ = M_{\partial g} - M_c, \end{aligned} \right\} (1)$$

где N – вертикальная составляющая реакции грунта; $M_{\partial g}$ – момент, развиваемый двигателем; M_c – момент сил «вредных» сопротивлений при вращении дебалансов вибровозбудителя, возникающих за счет трения в подшипниках и редукторных парах; b_1, b_2, b_3 – коэффициенты сопротивления, являющиеся экспериментально определяемыми параметрами; r – радиус инерции вращающегося элемента; m_g и J_g – соответственно масса и центральный момент вращающейся массы вибровозбудителя; m_1 – масса корпуса вибровозбудителя; m_2 – масса корпуса катка; N_{cm} – статическая реакция грунта; φ – угол поворота вращающейся массы вибровозбудителя; c – суммарная жесткость упругих элементов подвески корпуса вибровозбудителя.

При достаточно мощном двигателе (с «неограниченной» мощностью), приводящем во вращение дебалансы вибровозбудителя, можно считать, что $\dot{\varphi} = \nu = const$, $\ddot{\varphi} \equiv 0$, где ν – частота вращения масс вибровозбудителя, и тогда $\varphi = \nu t$. В этом случае первые два уравнения системы (1) примут вид:

$$\left. \begin{aligned} (m_1 + 2m_g)\ddot{x}_1 + (b_1 + b_3)\dot{x}_1 + c(x_1 - x_2) &= 2m_g r v^2 \cos v t + b_3 r v \sin v t, \\ m_2 \ddot{x}_2 + b_2 \dot{x}_2 + c(x_2 - x_1) &= N_{cm} - N, \end{aligned} \right\} (2)$$

а третье уравнение, записанное в форме:

$$- 2m_g r \ddot{x}_1 \sin v t + b_3 r^2 v - b_3 r \dot{x}_1 \sin v t + 2m_g r g \sin v t = M_{\partial e} - M_c,$$

представляет собой выражение, определяющее величину момента двигателя, необходимого для обеспечения условия $v = const$.

Исключая отсюда \ddot{x}_1 с помощью первого уравнения системы (2), получим

$$\begin{aligned} M_{\partial e} = M_c + b_3 r^2 v + \dot{x}_1 r \left[\frac{2m_g (b_1 + b_3)}{m_1 + 2m_g} - b_3 \sin v t \right] + \frac{2m_g r c}{m_1 + 2m_g} (x_1 - x_2) - \\ - 2m_2 r g \left[\frac{r v b_3}{(m_1 + 2m_g) g} - 1 \right] \sin v t - \frac{4m_g^2 r^2 v^2}{m_1 + 2m_g} \cos v t. \end{aligned} \quad (3)$$

Движение рассматриваемой механической системы с постоянной частотой вращения дебалансов будем условно называть *стационарным возбуждением*. Очевидно, и это будет показано в дальнейшем, стационарное возбуждение по истечении времени переходных процессов приводит к установившемуся динамическому состоянию, при котором перемещения x_1 и x_2 являются периодическими функциями с постоянными амплитудами. Такой колебательный процесс в механике называется *стационарным*.

Как видно из (3), момент, развиваемый двигателем при вращении дебалансов, в установившемся движении при стационарном возбуждении является некоторой периодической функцией, если периодическими являются решения системы (2), то есть $x_1(t)$ и $x_2(t)$. Среднее значение $M_{\partial e}$ оценивается величиной $M_c + b_3 r^2 v = M_c + M_{mp}$, то есть определяется моментом сил сопротивления и моментом сил трения при вращении дебалансов, обусловленных центробежными силами. Амплитудное значение $M_{\partial e}$ может достигать существенно больших величин, поэтому для выполнения условий $\dot{\phi} = v = const$, $\ddot{\phi} \equiv 0$, двигатель должен обладать не только «неограниченной» мощностью, но и абсолютно жесткой характеристикой, обеспечивающей независимость частоты вращения от моментной нагрузки. Такие свойства присущи синхронным электродвигателям или специальным регулируемым электродвигателям постоянного тока. В общем случае, когда двигатель имеет так называемую мягкую характеристику, при кото-

рой частота вращения уменьшается при увеличении момента сил сопротивления, условия $\dot{\phi} = v = const$, $\ddot{\phi} \equiv 0$ принципиально невыполнимы, и тогда необходимо интегрировать полную систему трех принципиально нелинейных уравнений (1).

Одна из форм стационарного движения может быть и в том случае, когда амплитуда колебаний массы вибровозбудителя становится настолько большой, что вступают в контакт молот с наковальней в ударнике. Их взаимодействие в этот момент представляет собой довольно сложный физический процесс, имеющий волновой характер, так как соударяющиеся элементы ударника являются упругими пространственно протяженными телами. Для инженерных целей учет взаимно упругих свойств молота и наковальни можно осуществить путем введения некоторого упругого безынерционного элемента, обладающего эквивалентным коэффициентом жесткости $c_{эКВ}$, величину которого можно определить экспериментально способом статического нагружения элементов ударника.

В рамках такой концепции линейная функция $c(x_1 - x_2)$ в уравнениях системы (2) заменяется нелинейной функцией вида:

$$P(x_1, x_2) = \begin{cases} c(x_1 - x_2) & \text{при } x_1 - x_2 < \Delta, \\ c\Delta + (c + c_{эКВ})(x_1 - x_2 - \Delta) & \text{при } x_1 - x_2 \geq \Delta, \end{cases} \quad (4)$$

где Δ , как было сказано выше, конструктивный зазор между молотом и наковальней ударника.

Эта запись отражает тот факт, что при малых относительных перемещениях ($x_1 - x_2 < \Delta$) в работе принимают участие только упругие элементы подвески корпуса вибровозбудителя. Контакт молота с наковальней происходит в момент времени, когда окажется, что $x_1 - x_2 = \Delta$.

При дальнейшем увеличении разности $x_1 - x_2$ в работу вступают те элементы соударяющихся тел, упругие свойства которых характеризуются принятым обобщенным коэффициентом жесткости $c_{эКВ}$. В этом случае ($x_1 - x_2 \geq \Delta$) сила взаимодействия складывается из постоянной составляющей $c\Delta$ и переменной компоненты $-(c + c_{эКВ})(x_1 - x_2 - \Delta)$, причем в этой компоненте силы суммарный коэффициент жесткости равен $c + c_{эКВ}$. В принятых обозначениях системе уравнений (2) запишем в форме:

$$\left. \begin{aligned} (m_1 + 2m_g)\ddot{x}_1 + (b_1 + b_3)\dot{x}_1 + P(x_1, x_2) &= 2m_g r v^2 \cos v t + b_3 r v \sin v t, \\ m_2 \ddot{x}_2 + b_2 \dot{x}_2 - P(x_1, x_2) &= N_{cm} - N. \end{aligned} \right\} (5)$$

Для удобства дальнейшего интегрирования уравнений движения введем следующие безразмерные переменные:

$$u_1 = \frac{x_1}{\Delta}, u_2 = \frac{x_2}{\Delta}, \tau = v t, \quad (6)$$

и параметры:

$$\left. \begin{aligned} \omega^2 &= c \frac{m_1 + m_2 + 2m_g}{(m_1 + 2m_g)m_2}, \quad \mu = \frac{\omega}{v}, \quad \gamma = \frac{g}{k_1 \omega^2 \Delta}, \\ k_1 &= \frac{m_2}{m_1 + m_2 + 2m_g}, \quad k_2 = \frac{2m_g}{m_1 + 2m_g}, \quad \beta = \frac{r}{\Delta}, \quad \lambda = 1 + \frac{c_{экс}}{c}, \\ \delta_1 &= \frac{b_1}{2\omega(m_1 + 2m_g)}, \quad \delta_2 = \frac{b_2}{2\omega m_2}, \quad \delta_3 = \frac{b_3}{2v m_g}, \end{aligned} \right\} (7)$$

причем здесь при обозначении безразмерных коэффициентов затухания $\delta_1, \delta_2, \delta_3$ были использованы соотношения, отражающие гипотезу внешнего трения.

Введем также безразмерную нелинейную функцию виброударного взаимодействия по аналогии с (4), которую при использовании обозначений (6) и (7) запишем в виде:

$$U(u_1, u_2) = \begin{cases} u_1 - u_2 & \text{при } u_1 - u_2 < 1, \\ 1 + \lambda(u_1 - u_2 - 1) & \text{при } u_1 - u_2 \geq 1. \end{cases} \quad (8)$$

Определим безразмерным соотношением функцию реакции грунта, зависящую от u_2 , в форме:

$$S(u_2) = \frac{N_{cm} - N}{N_{cm}}, \quad (9)$$

структура которой будет выяснена позже.

В обозначениях (6), (7), (8) и (9) систему уравнений (5) запишем в виде:

$$\left. \begin{aligned} \frac{d^2 u_1}{d\tau^2} + (2\mu\delta_1 + k_2\delta_3) \frac{du_1}{d\tau} + k_1\mu^2 U(u_1, u_2) &= k_2\beta(\cos \tau + \delta_3 \sin \tau), \\ \frac{d^2 u_2}{d\tau^2} + 2\mu\delta_2 \frac{du_2}{d\tau} + (1 - k_1)\mu^2 U(u_1, u_2) &= \gamma\mu^2 S(u_2). \end{aligned} \right\} (10)$$

Выражение для реакции N на основании исследования кинематических особенностей перекачивания катка по деформированному грунту в рамках упругопластической модели Прандтля и гидростатической аналогии представляется в форме:

$$\frac{N}{m_{II}g} = \frac{1}{\varepsilon} \sqrt{\varepsilon^2 + 2\beta u_2 \sqrt{1 - \varepsilon^2} - (\beta u_2)^2}, \quad (11)$$

где безразмерный параметр ε определен формулой

$$\varepsilon = \frac{m_{II}g}{\sigma_T R b},$$

причем здесь σ_T – напряжение текучести грунта, m_{II} – полная масса катка, то есть $m_{II} = m_1 + m_2 + 2m_6$.

Подкоренное выражение в соотношении (11) обращается в ноль при некотором $u_2 = -x_0^*/\Delta$, и при дальнейшем уменьшении u_2 реакция N становится равной нулю, то есть в этом случае происходит «подпрыгивание» катка (его отрыв от почвы). Следовательно,

$$\frac{N}{m_{II}g} = \begin{cases} \frac{1}{\varepsilon} \sqrt{\varepsilon^2 + 2\beta u_2 \sqrt{1 - \varepsilon^2} - (\beta u_2)^2} & \text{при } u_2 > -x_0^*/\Delta, \\ 0 & \text{при } u_2 \leq -x_0^*/\Delta. \end{cases} \quad (12)$$

Подставляя это соотношение в (9), получим:

$$S(u_2) = \begin{cases} 1 - \frac{1}{\varepsilon} \sqrt{\varepsilon^2 + 2\beta u_2 \sqrt{1 - \varepsilon^2} - (\beta u_2)^2} & \text{при } u_2 > -x_0^*/\Delta, \\ 1 & \text{при } u_2 \leq -x_0^*/\Delta. \end{cases} \quad (13)$$

В соотношениях (12) и (13) x_0^* – так называемое *квазидинамическое смятие* грунта, определяемое формулой

$$x_0^* = R \left(1 - \sqrt{1 - \left(\frac{m_{II}g}{\sigma_T R b} \right)^2} \right).$$

Используемая упруго-пластическая модель Прандтля применительно к деформационному состоянию уплотняемого грунта с учетом кинематических особенностей качения цилиндрического вальца по

сминаемому грунту позволила получить замкнутую систему дифференциальных уравнений взаимодействия вальца с грунтом в динамическом режиме.

В рамках понятий «систем с неограниченной мощностью» динамические состояния вибрационного катка описываются системой двух нелинейных дифференциальных уравнений. Нелинейности обуславливаются учетом виброударных явлений, а также полученным нелинейным функциональным соотношением зависимости реакции грунта от вертикальных перемещений вальца.

Итак, для системы уравнений (10) с нелинейными функциями (8) и (13) имеется все необходимое для их интегрирования численным методом, что будет отображено в последующей статье.

Список источников.

1. Хархута Н.Я. Машины для уплотнения грунтов – М.: Машиностроение, 1973. – 176 с.
2. Форсблад Л. Вибрационное уплотнение грунтов и оснований – М.: Транспорт, 1987. – 186 с.
3. Попов Г.Н. Исследование и обоснование параметров вибрационных катков для уплотнения грунтов, Автореферат диссертации на соискание ученой степени к.т.н.. Ленинградский политехнический институт. –Л.: 1970. – 108 с.
4. Дворников В. И., Пенчук В. А. Моделирование процессов деформирования грунтов. Вісник Донбаської державної академії будівництва і архітектури. Вип.2000-5(25). Будівельні, дорожні машини та обладнання, 2002, с. 32-34.
5. Клигина Г.Н. Строительные материалы из горелых пород.-М.: Изд-во лит. По строительству, 1966.-207с.

Дата поступления статьи в редакцию: 3.11.08